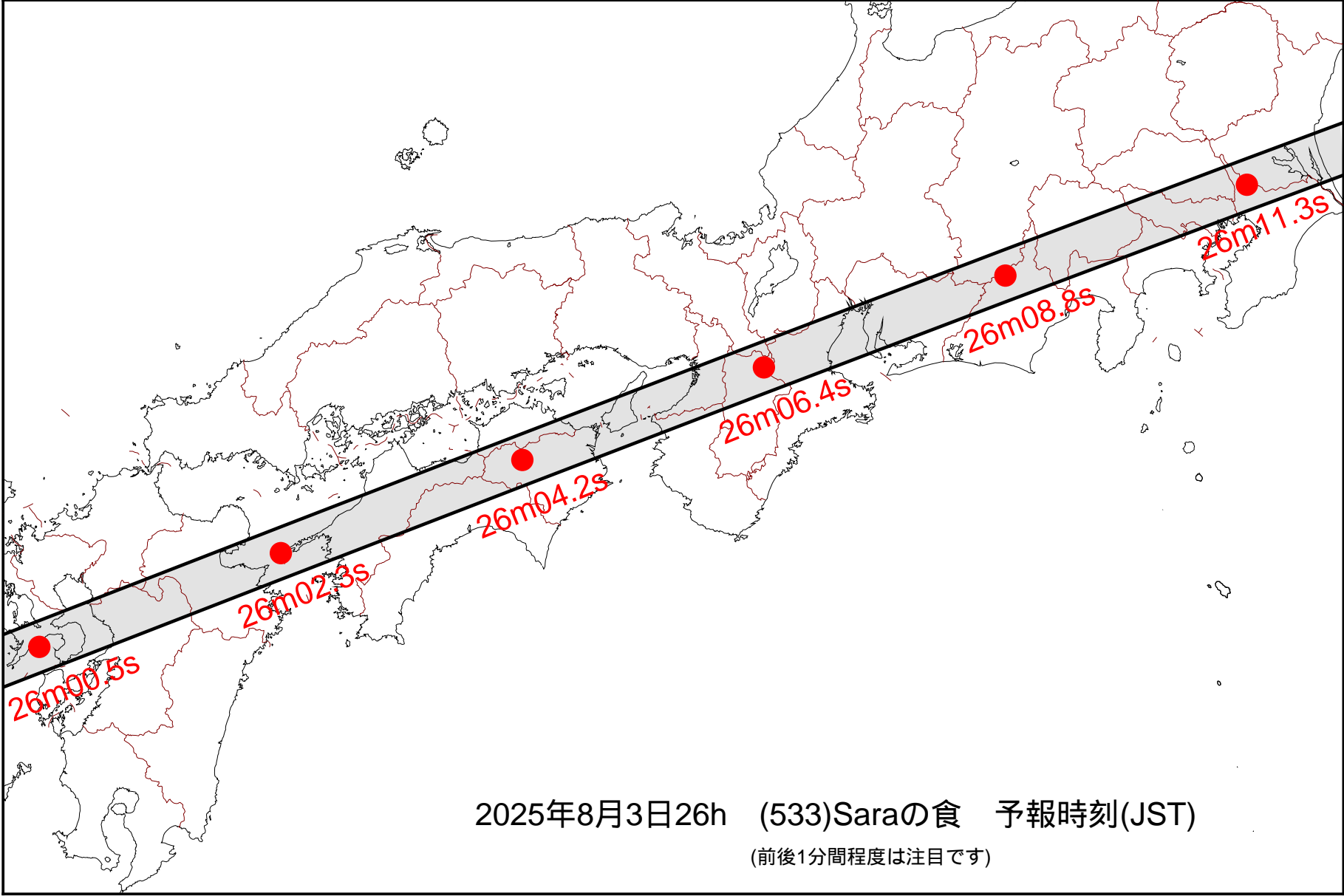


図1 2025年8月3日 (533) Sara



2025年8月3日26h (533)Saraの食 予報時刻(JST)

(前後1分間程度は注目です)

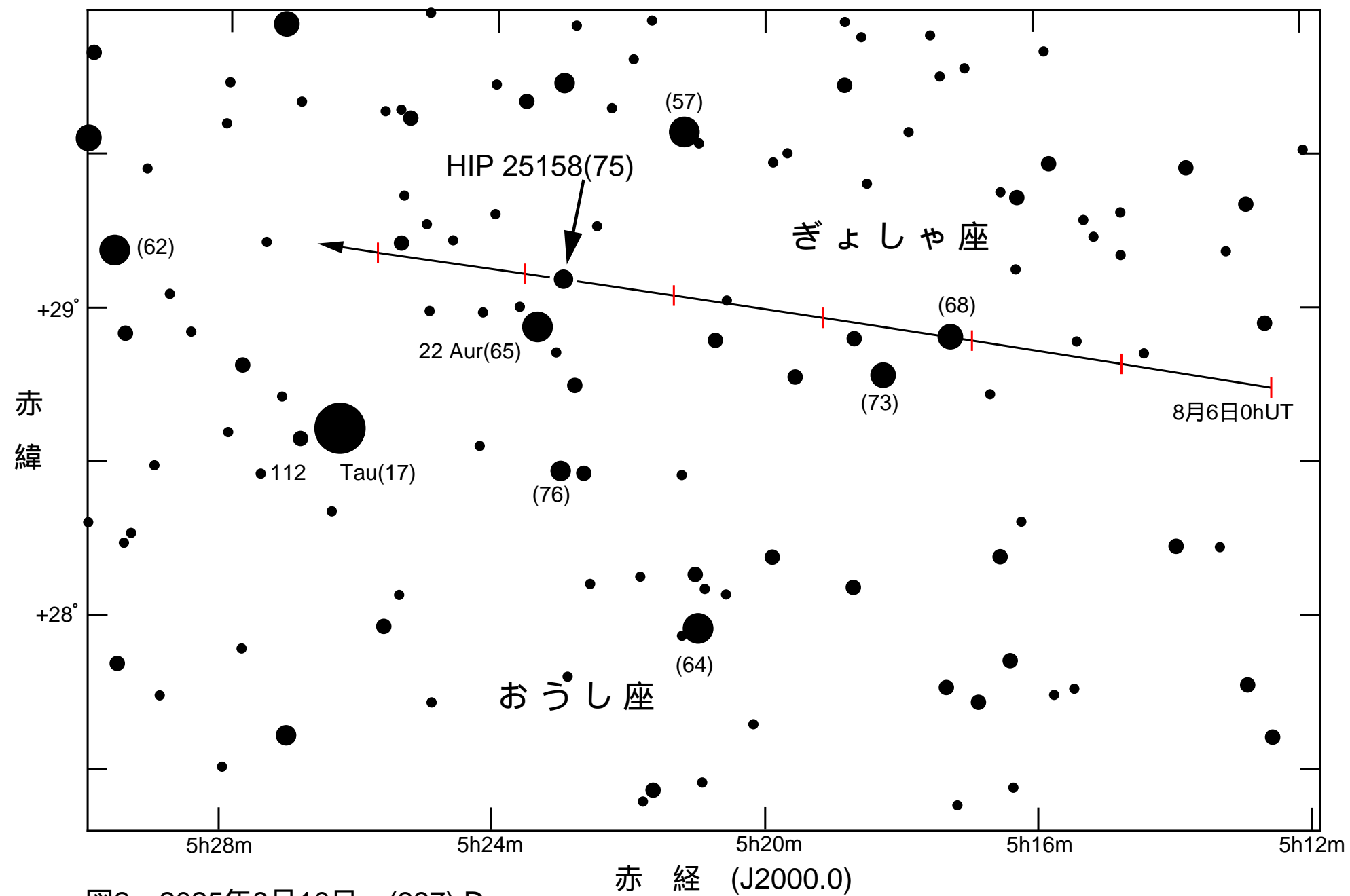
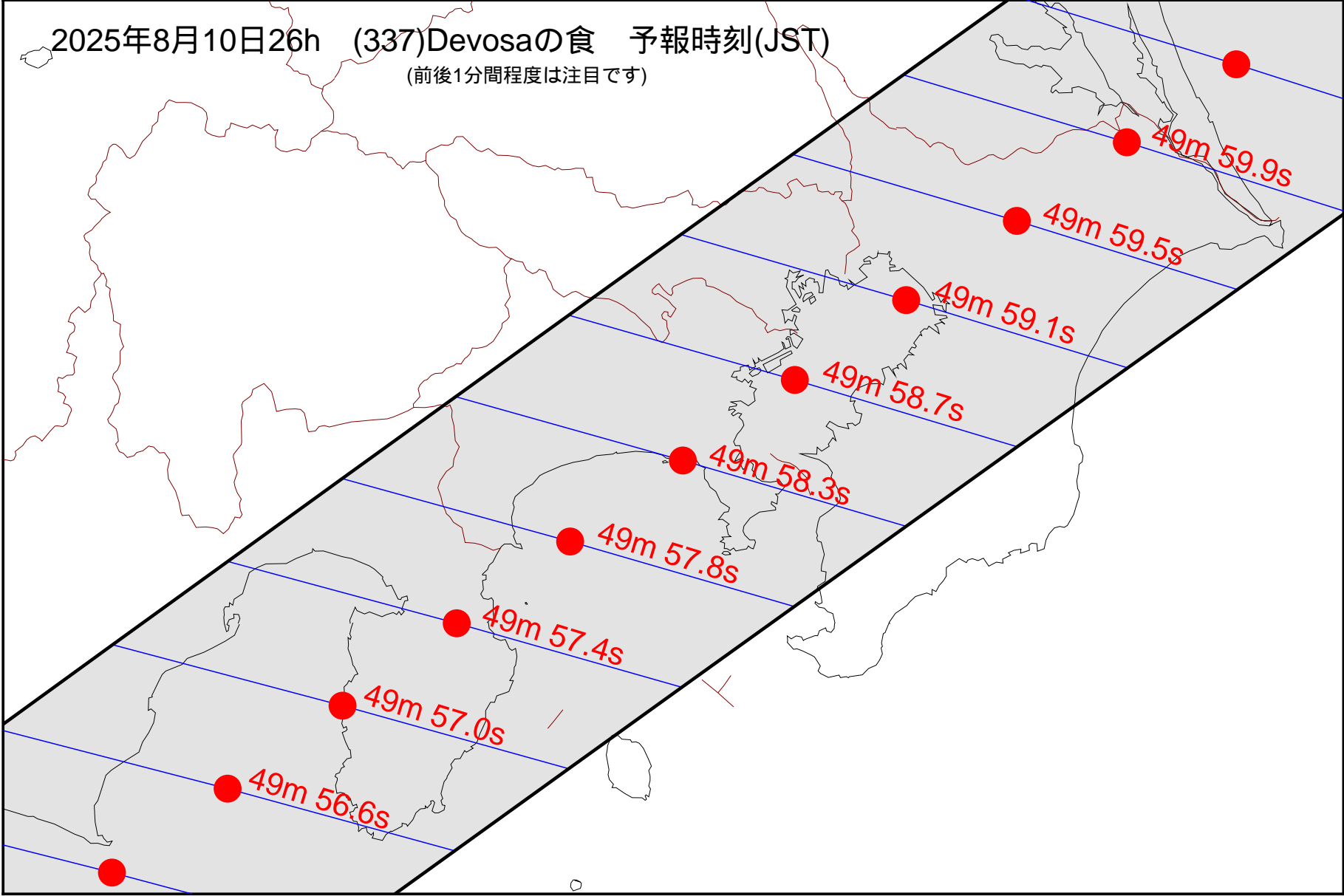


図2 2025年8月10日 (337) Devosa

2025年8月10日26h (337)Devosaの食 予報時刻(JST)

(前後1分間程度は注目です)



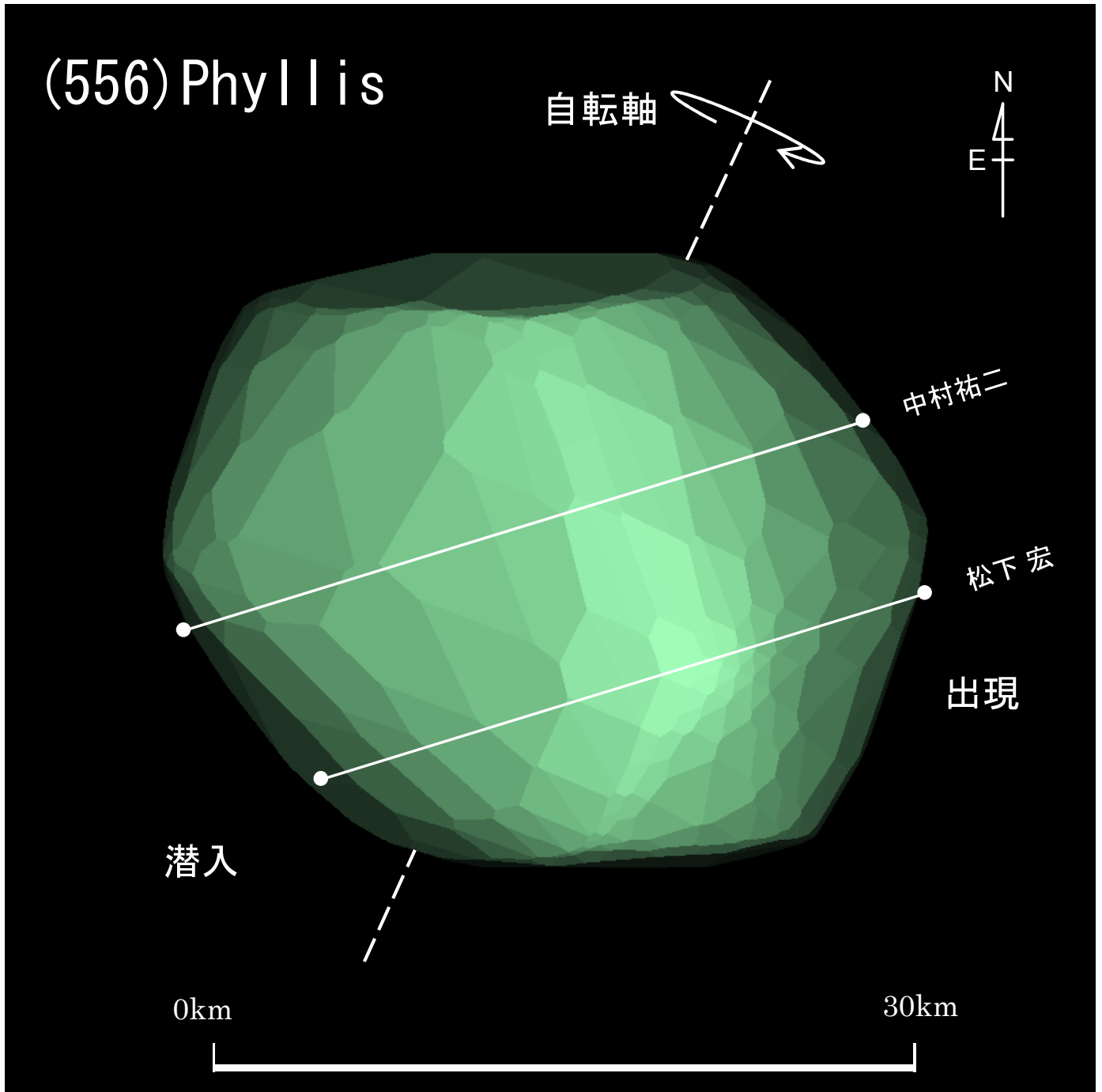


図3 (556) Phyllis 2024年11月2日 15h47m06s UT DAMIT Model 226 ( $\lambda = 34$ 、 $\beta = +54$ )※1  
 $P = 335^\circ$ 、 $\beta_e = -6^\circ$ 、 $\lambda_e = -191^\circ$ 、Scale Factor 1: 25.9、 $k = 0.950$ 、 $B = 100.8^\circ$

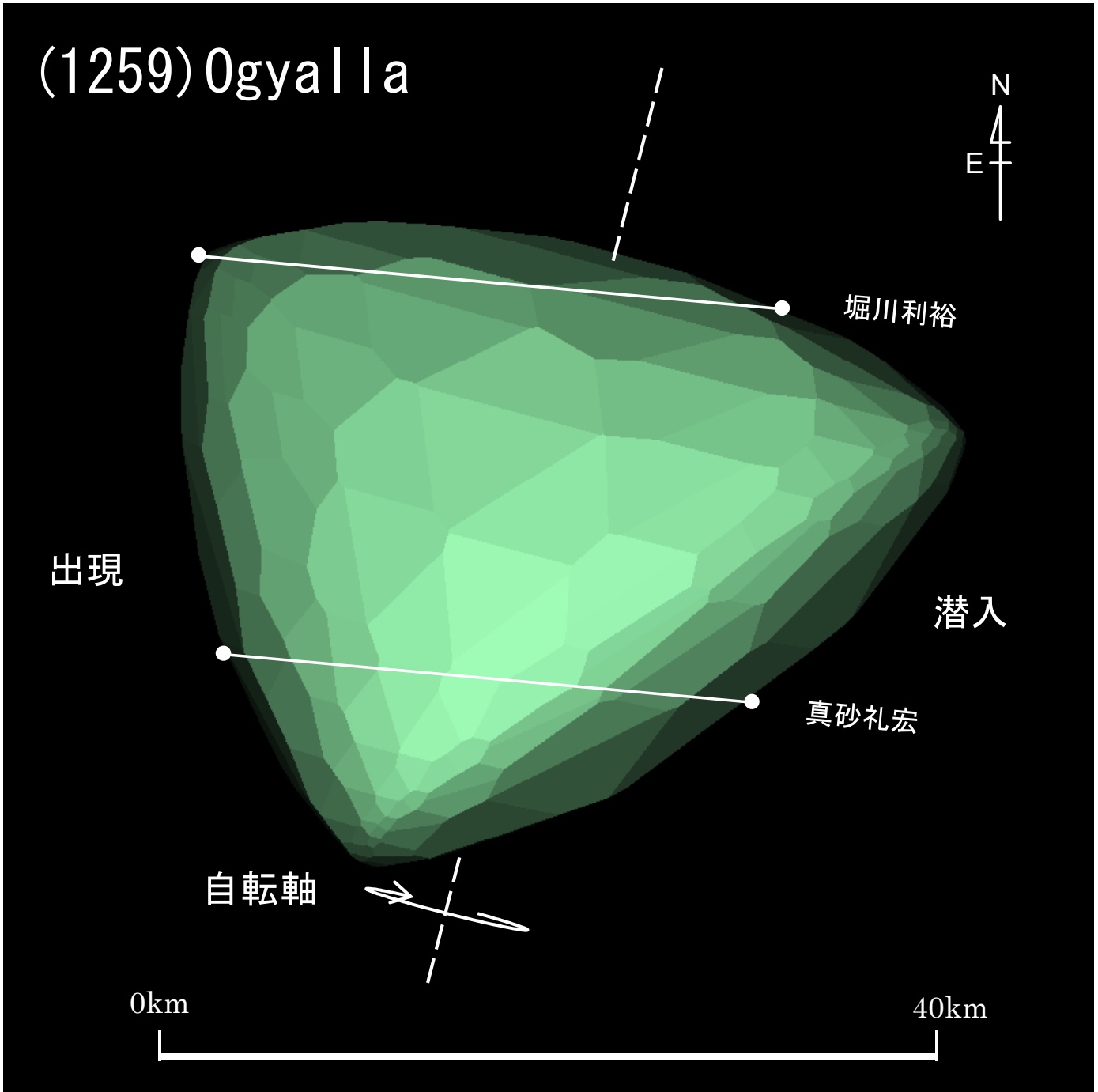


図4 (1259) Ogyalla 2024年11月21日 16h23m31s UT DAMIT Model 331 ( $\lambda = 157$ 、 $\beta = +18$ ) $\times 1$   
 $P = 166^\circ$ 、 $\beta_e = -1^\circ$ 、 $\lambda_e = -289^\circ$ 、Scale Factor 1: 30.4、 $k = 0.999$ 、 $B = 84.2^\circ$

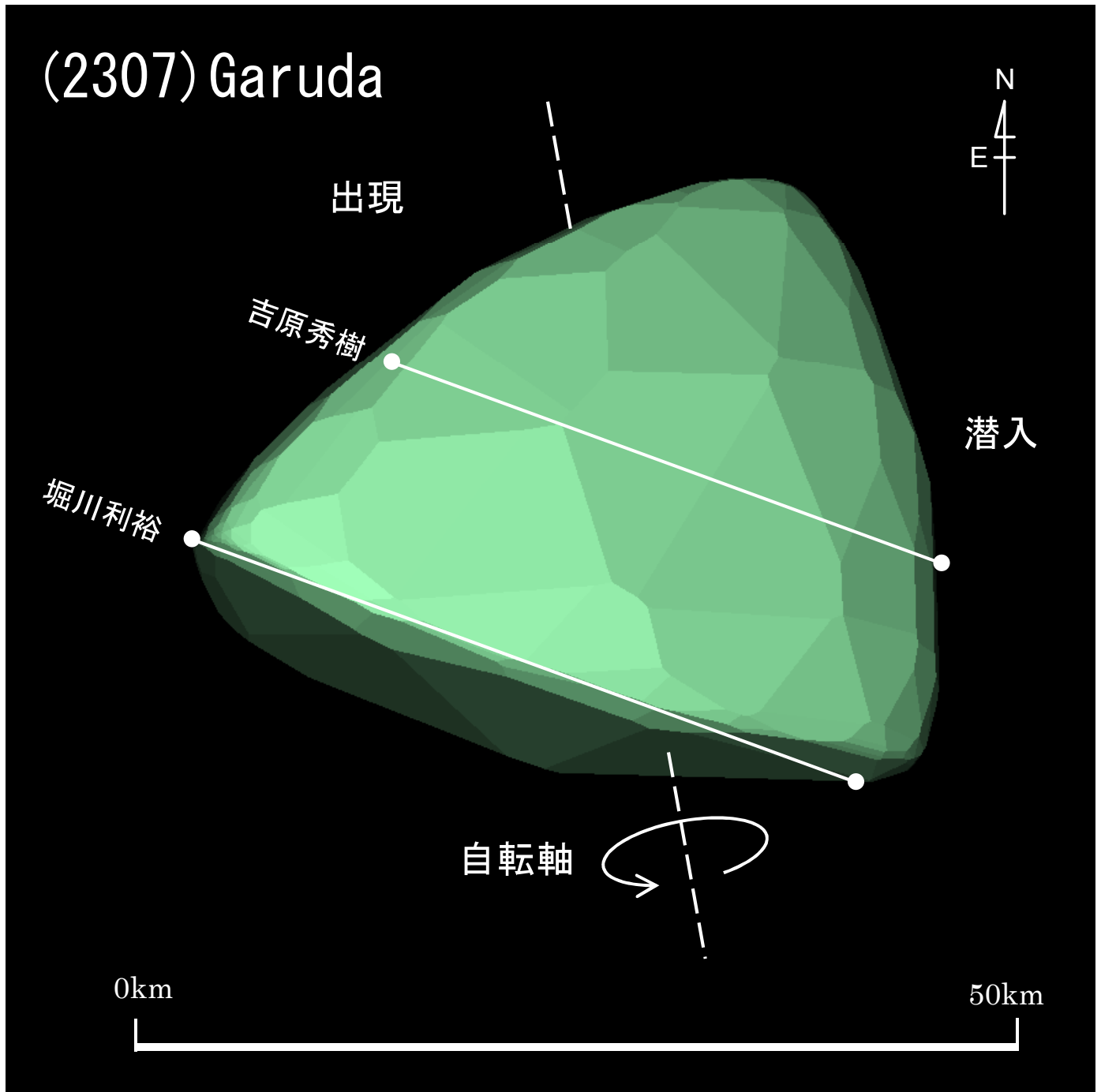


図5 (2307) Garuda 2024年11月23日 13h57m07s UT DAMIT Model 9335 ( $\lambda = 294$ 、 $\beta = -65$ )※1  
 $P = 190^\circ$ 、 $\beta_e = +21^\circ$ 、 $\lambda_e = +172^\circ$ 、Scale Factor 1: 28.9、 $k = 0.988$ 、 $B = 100.464^\circ$

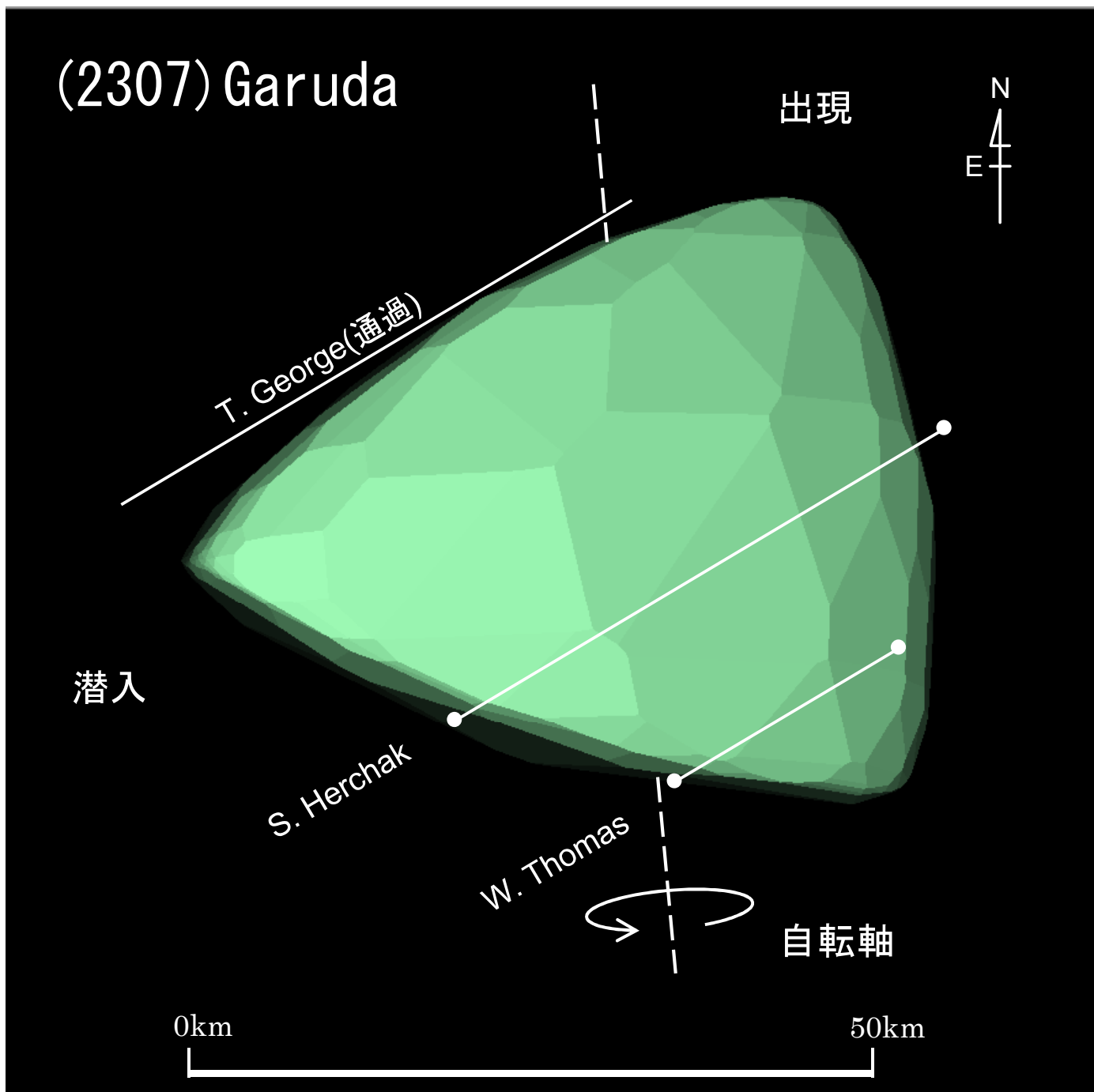


図6 (2307) Garuda 2014年11月11日 12h01m55s UT DAMIT Model 9335 ( $\lambda = 294$ 、 $\beta = -65$ ) ※1  
 $P = 185^\circ$ 、 $\beta_e = +14^\circ$ 、 $\lambda_e = +177^\circ$ 、Scale Factor 1: 37.0、 $k = 0.974$ 、 $B = 109.0^\circ$

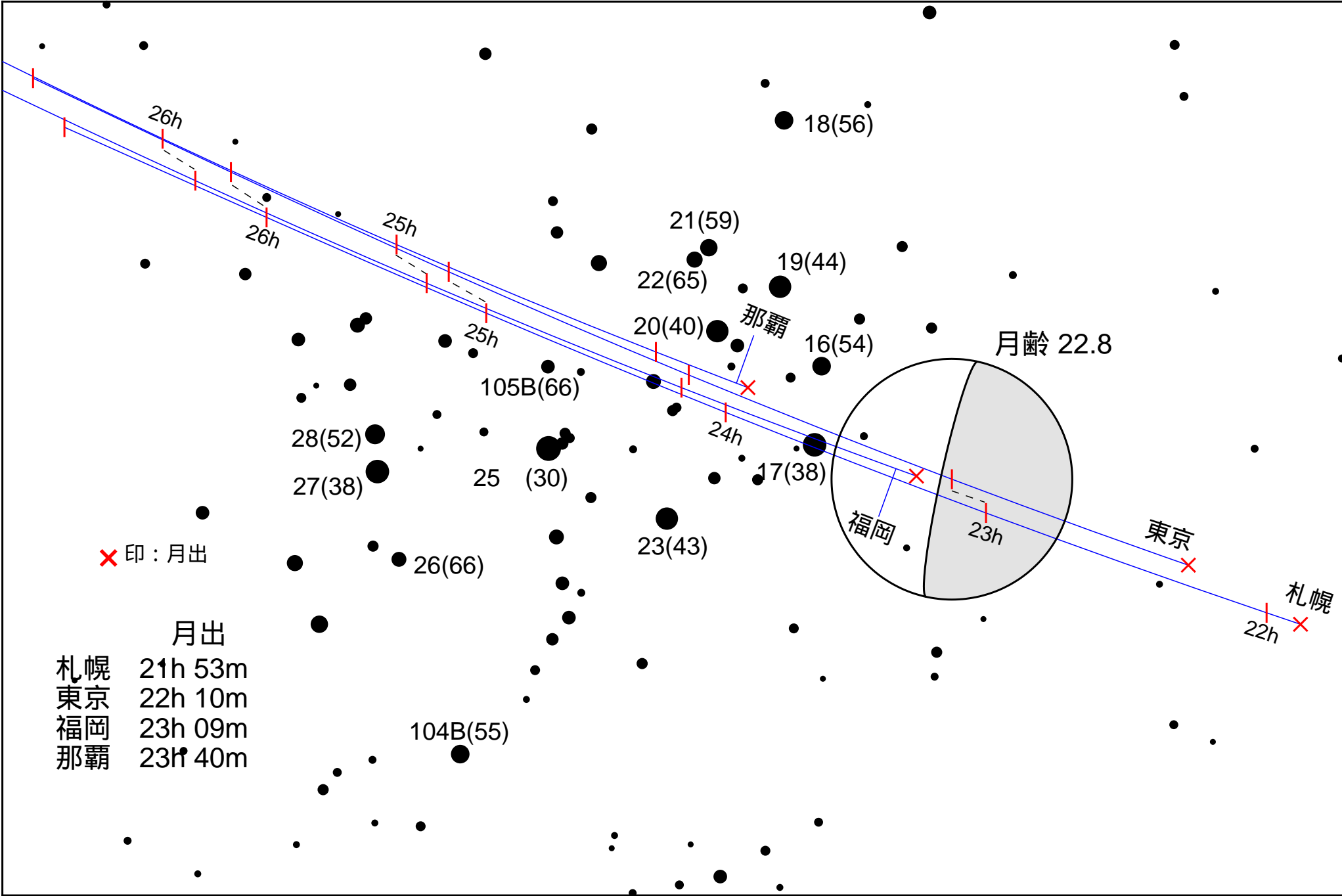


図7 2025年8月16日(土) 夜半のすばる食 (J.S.T.) (月は23h00mに東京で見た位置)

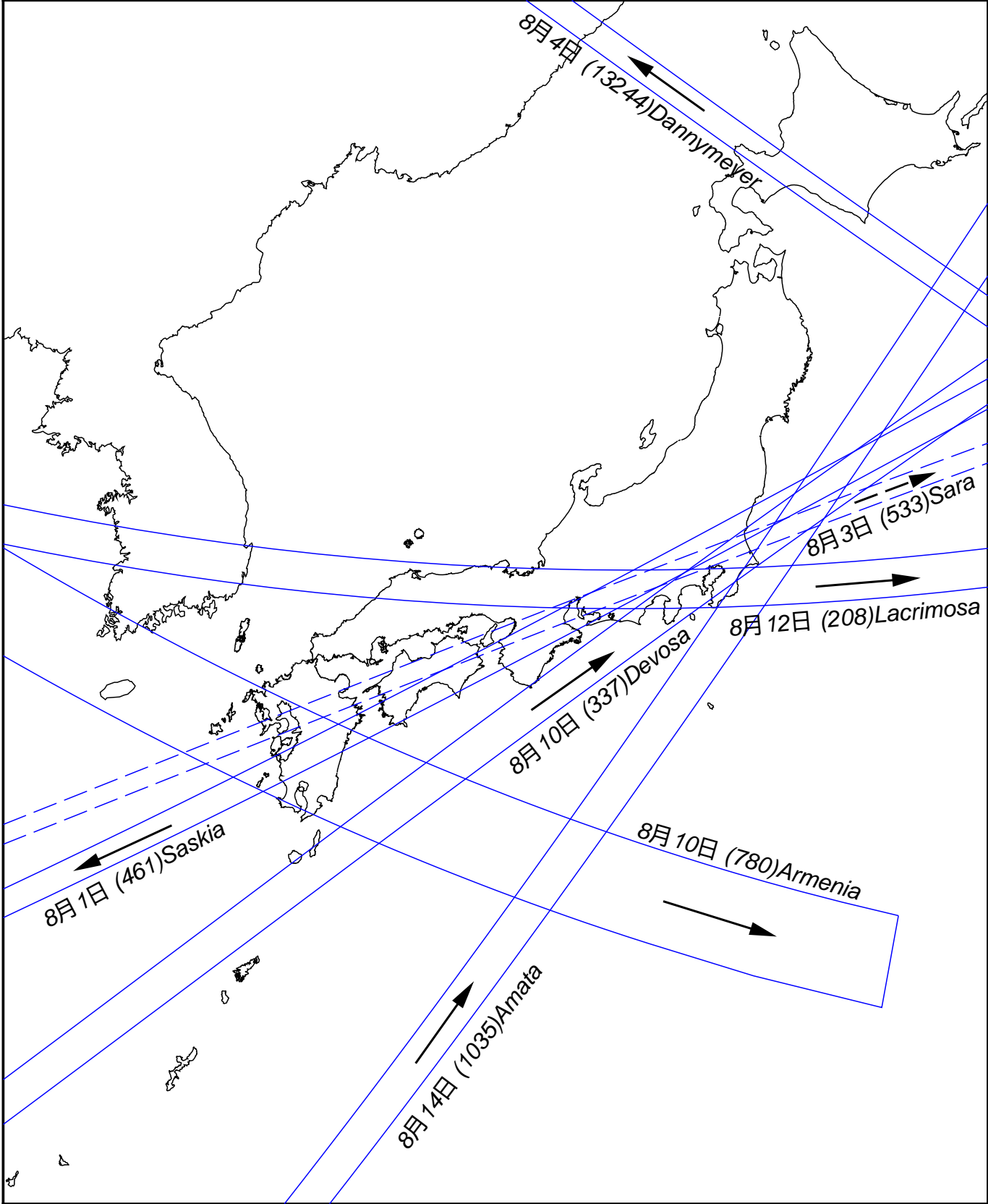


図8 小惑星による主な掩蔽帯経路 (S.Preston予報ほか) 2025年8月 前半  
 矢印は影の移動方向を示す

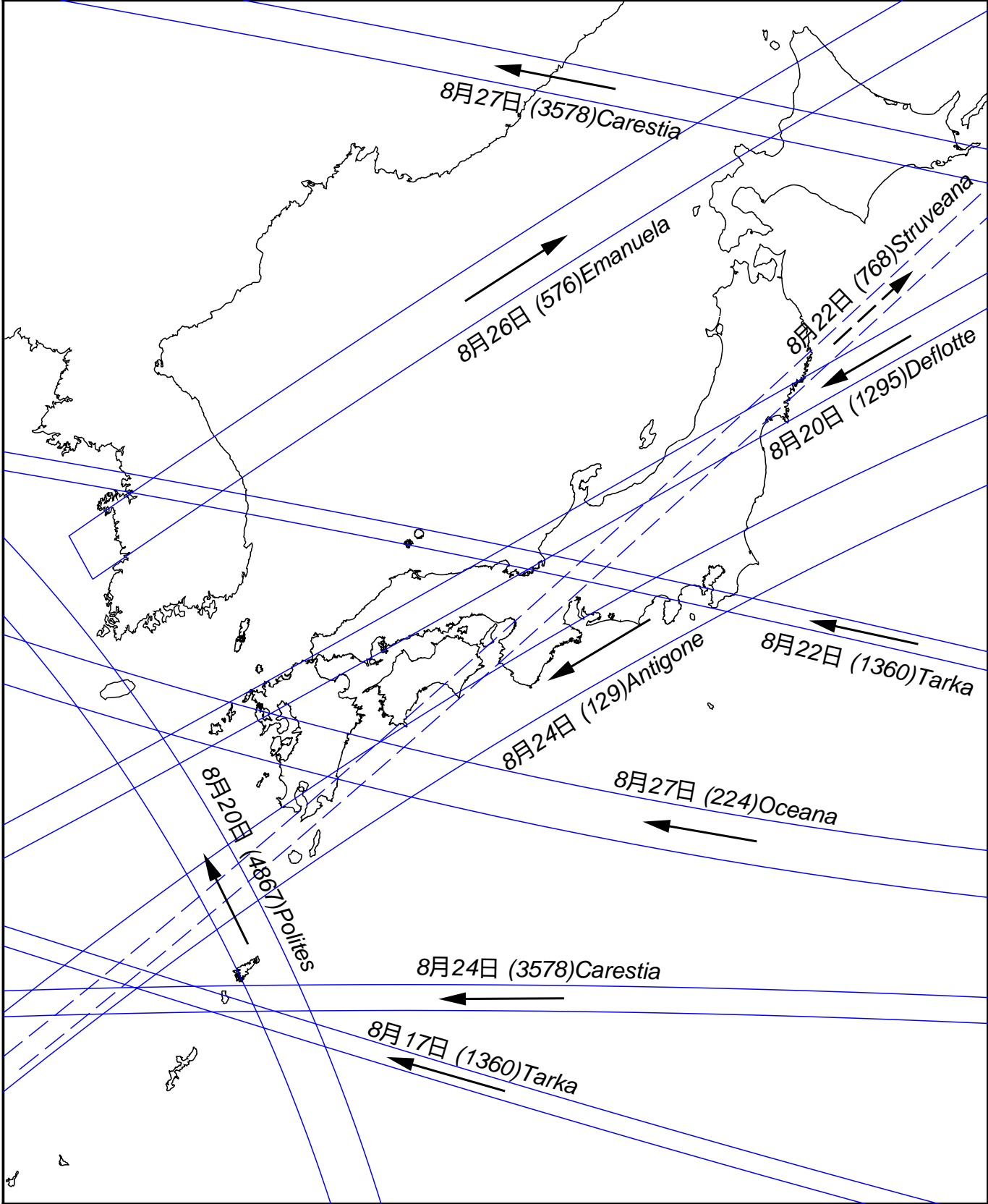


図9 小惑星による主な掩蔽帯経路 (S.Preston予報ほか) 2025年8月後半  
 矢印は影の移動方向を示す